

BC206

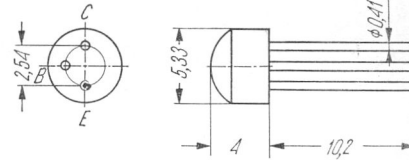
Typ tranzystora: tranzystor krzemowy

Firma: MISTRAL

Wykonanie: tranzystor krzemowy epitaksjalno-planarny *p-n-p* w obudowie plastikowej RO-110, ciężar 0,3 G

Zastosowanie: małoszumne układy wejściowe stopni sterujących m.cz.

Typy podobne: BC206 (Ses, Ph), BC309 (Siem)



Rys. 1-265. BC206

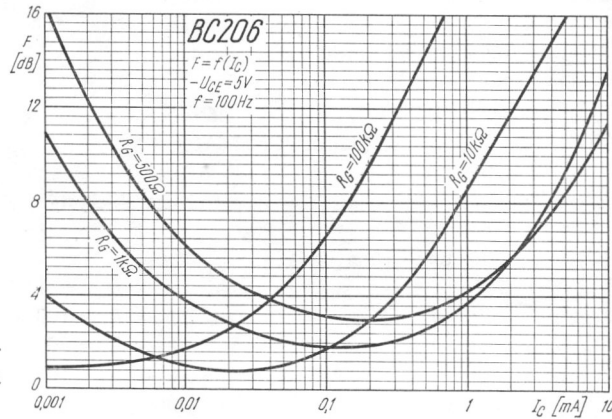
Wartości charakterystyczne¹⁾

| | min | typ | max | | |
|----------------|-------|-------|-------|------------|---|
| I_{CES} | | -2 | -100 | nA | przy $U_{CE} = -25$ V, $U_{BE} = 0$ |
| I_{CES} | | | -4 | μ A | przy $U_{CE} = -20$ V, $U_{BE} = 0$, $t_{amb} = 125^\circ\text{C}$ |
| $U_{(BR)CEO}$ | -20 | | | V | przy $I_C = -2$ mA, $I_E = 0$ |
| $U_{(BR)CES}$ | -25 | | | V | przy $I_C = -10$ μ A, $U_{BE} = 0$ |
| $U_{(BR)EBO}$ | -5 | | | V | przy $I_E = -1$ μ A, $I_C = 0$ |
| h_{21E} (A) | 40 | | | | } przy $I_C = -10$ μ A, $U_{CE} = -5$ V |
| (B) | 65 | | | | |
| h_{21E} (A) | 110 | | 240 | | } przy $I_C = -2$ mA, $U_{CE} = -5$ V |
| (B) | 200 | | 480 | | |
| h_{21E} (A) | | 120 | | | } przy $I_C = -100$ mA, $U_{CE} = -5$ V |
| (B) | | 200 | | | |
| U_{CEsat} | | -0,1 | -0,2 | V | przy $I_C = -10$ mA, $I_B = -0,5$ mA |
| U_{CEsat} | | -0,3 | -0,95 | V | przy $I_C = -100$ mA, $I_B = -5$ mA |
| U_{BEsat} | | -0,7 | -0,8 | V | przy $I_C = -10$ mA, $I_B = -0,5$ mA |
| U_{BEsat} | | -0,85 | -1,2 | V | przy $I_C = -100$ mA, $I_B = -5$ mA |
| U_{BE} | -0,55 | -0,65 | -0,7 | V | przy $I_C = -2$ mA, $U_{CE} = -5$ V |
| h_{11e} (VI) | 0,4 | 1,2 | 2,2 | k Ω | } przy $I_C = -2$ mA, $U_{CE} = -5$ V, $f = 1$ kHz |
| (A) | 1,2 | 2,7 | 4,5 | k Ω | |
| (B) | 3 | 4,5 | 8 | k Ω | |
| h_{12e} (VI) | | 2,5 | | 10^{-4} | } przy $I_C = -2$ mA, $U_{CE} = -5$ V, $f = 1$ kHz |
| (A) | | 3 | | 10^{-4} | |
| (B) | | 3,5 | | 10^{-4} | |
| h_{21e} (A) | 125 | 220 | 260 | | } przy $I_C = -2$ mA, $U_{CE} = -5$ V, $f = 1$ kHz |
| (B) | 240 | 330 | 500 | | |
| h_{22e} (VI) | | 20 | 40 | μ S | |
| (A) | | 25 | 50 | μ S | |
| (B) | | 35 | 70 | μ S | |
| f_T | 150 | 300 | | MHz | przy $I_C = -10$ mA, $U_{CE} = -5$ V, $f = 50$ MHz |
| C_{CBO} | | 4 | 6 | pF | przy $I_E = 0$, $U_{CB} = -10$ V, $f = 1$ MHz |
| F | | | 4 | dB | przy $I_C = -0,2$ mA, $U_{CE} = -5$ V, $R_G = 2$ k Ω , $f = 1$ kHz, $\Delta f = 200$ Hz |
| F | | | 10 | dB | przy $I_C = -0,2$ mA, $U_{CE} = -5$ V, $R_G = 2$ k Ω , $f = 120$ Hz |

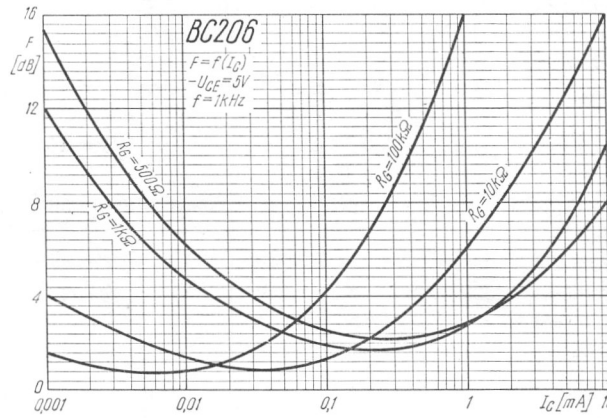
Wartości graniczne¹⁾

| | | | | | |
|-----------------------|------|----|--------------------------|-------------------|------|
| $U_{CE0 \text{ max}}$ | -20 | V | $I_B \text{ max}$ | -50 | mA |
| $U_{CES \text{ max}}$ | -25 | V | $P_{tot \text{ max}}$ | 300 ¹⁾ | mW |
| $U_{EB \text{ max}}$ | -5 | V | $t_j \text{ max}$ | 150 | °C |
| $I_C \text{ max}$ | -100 | mA | $R_{th j-a \text{ max}}$ | 420 | °C/W |
| $I_{CM \text{ max}}$ | -200 | mA | t_{stg} | -55 ÷ +150 | °C |

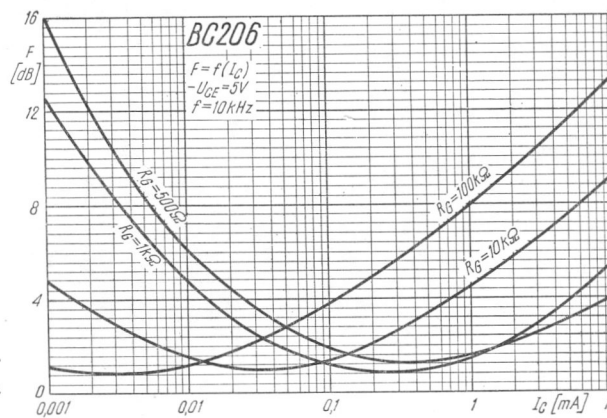
¹⁾ $t_{amb} = 25^\circ\text{C}$



Rys. 1-266. Zależność współczynnika szumów od prądu kolektora



Rys. 1-267. Zależność współczynnika szumów od prądu kolektora



Rys. 1-268. Zależność współczynnika szumów od prądu kolektora